

Федеральное агентство по образованию Российской Федерации  
Государственное образовательное учреждение высшего профессионального образования  
"Московский физико-технический институт (государственный университет)"

Выпускная квалификационная работа на степень бакалавра

**Уровни Ландау поверхностных состояний трехмерного топологического  
изолятора с учетом гексагонального искажения и массы**

студент 028 группы Евгений Репин  
научный руководитель: д.ф.-м.н. И.С. Бурмистров

Черноголовка 2014

## I. ВВЕДЕНИЕ

Изучение топологических изоляторов сегодня на переднем плане теоретической физики конденсированного состояния. Они рассматривались в ряде обзоров<sup>1,2</sup>. Общий интерес к ним вызван как многочисленными возможностями применения в спинтронике (благодаря связи спин-ток краевых состояний), квантовых вычислениях (благодаря их топологической устойчивости) и некоторых других областях, так и нетривиальностью свойств как топологически нетривиальной фазы с точки зрения фундаментальной науки. Одна из важнейших задач при изучении вышеупомянутых краевых состояний - изучение их спектра, что было сделано в ряде экспериментов методами разрешенной по углам фотоэмиссионной спектроскопии<sup>3</sup>, оптической спектроскопии<sup>4</sup> в магнитном поле и сканирующей туннельной спектроскопии<sup>5</sup>. С помощью этого метода были экспериментально исследованы уровни Ландау в пленках теллурида сурьмы  $\text{Sb}_2\text{Te}_3$  разной толщины, проведено детальное изучение плотности поверхностных состояний теллурида висмута  $\text{Bi}_2\text{Te}_3$  в образце со ступенькой<sup>6</sup> и обнаружено появление нелинейности по  $k$  в их спектре с ростом энергии<sup>7</sup>. Теоретически спектр исследовался в работе, в которой находились уровни Ландау в пренебрежении гексагональным искажением<sup>9</sup>, а также в работе, в которой модельный гамильтониан для поверхностных состояний выводится из симметричных соображений, с помощью  $\mathbf{k} \cdot \mathbf{p}$  теории, а также находятся уровни Ландау в том же приближении<sup>8</sup>. Однако, как показывают эксперименты<sup>3,7</sup>, в случае теллурида висмута  $\text{Bi}_2\text{Te}_3$  пренебрежение гексагональным искажением может оказаться неправомерным, то есть уровни Ландау должны находиться с учетом кубического по  $k$  члена в гамильтониане, ответственного за этот эффект<sup>10</sup>. Поэтому мы поставили задачу исследовать уровни с учетом этого члена, взяв модельный гамильтониан<sup>10</sup>, а также найти плотность поверхностных состояний также с учетом него.

## II. ПЛОТНОСТЬ СОСТОЯНИЙ В НУЛЕВОМ МАГНИТНОМ ПОЛЕ

Модельный гамильтониан для поверхностных состояний в  $\text{Bi}_2\text{Te}_3$  без магнитного поля имеет вид матрицы  $2 \times 2$ :

$$H_0 = \frac{k_x^2 + k_y^2}{2m} + v(k_x \sigma_y - k_y \sigma_x) + \frac{\lambda}{2}(k_+^3 + k_-^3) \sigma_z, \quad (1)$$

где  $k_x$  и  $k_y$  - импульсы квазичастицы в плоскости,  $k_{\pm} = k_x \pm ik_y$ ,  $v$  - скорость Ферми,  $\sigma_i$  - матрицы Паули,  $\lambda$  - параметр гексагонального искажения и  $m$  - эффективная масса. Спектр для гамильтониана  $H_0$  имеет вид

$$E_{\pm}(k, \theta) = \frac{k^2}{2m} \pm \sqrt{(kv)^2 + \lambda^2 k^6 \cos^2 3\theta}, \quad (2)$$

где  $\theta$  - угол между осью  $k_x$  и направлением вектора  $\mathbf{k}$  в плоскости. Экспериментально может реализовываться случай как положительной (например, в случае селенида висмута  $\text{Bi}_2\text{Se}_3$ ), так и отрицательной (например, в случае теллурида висмута  $\text{Bi}_2\text{Te}_3$ ) эффективной массы<sup>3</sup>. В дальнейшем будет изучаться случай  $m < 0$ . При этом результаты для случая  $m > 0$  могут быть получены заменой знака энергии  $E$ . Плотность состояний имеет вид

$$g(E) = \sum_{\pm} \int_0^{+\infty} \frac{k dk}{(2\pi)^2} \int_0^{2\pi} d\theta \delta(E - E_{\pm}(k, \theta)). \quad (3)$$

Удобно ввести энергетические масштабы  $E_0 = \sqrt{v^3/\lambda}$  и  $\Delta = 2|m|v^2$ , и безразмерную энергию  $\epsilon = E/\Delta$ . Тогда безразмерный параметр  $\alpha = (\Delta/E_0)^4$  определяет масштаб гексагонального искажения. В случае его отсутствия,  $\alpha = 0$ , плотность состояний имеет вид:

$$g(\epsilon) = \frac{\Delta}{2\pi v^2} \begin{cases} 1, & \epsilon < 0, \\ (1 - 4\epsilon)^{-1/2}, & 0 \leq \epsilon < 1/4, \\ 0, & 1/4 < \epsilon. \end{cases} \quad (4)$$

При ненулевом  $\alpha$  плотность состояний будет

$$g(E) = \frac{\Delta}{2\pi v^2} F(\epsilon, \alpha), \quad (5)$$

где функция

$$F(\epsilon, \alpha) = \int_0^{\infty} \frac{dx}{\pi} |\epsilon + x| \operatorname{Re} \frac{1}{\sqrt{(\epsilon + x)^2 - x}} \operatorname{Re} \frac{1}{\sqrt{\alpha x^3 + x - (\epsilon + x)^2}}. \quad (6)$$

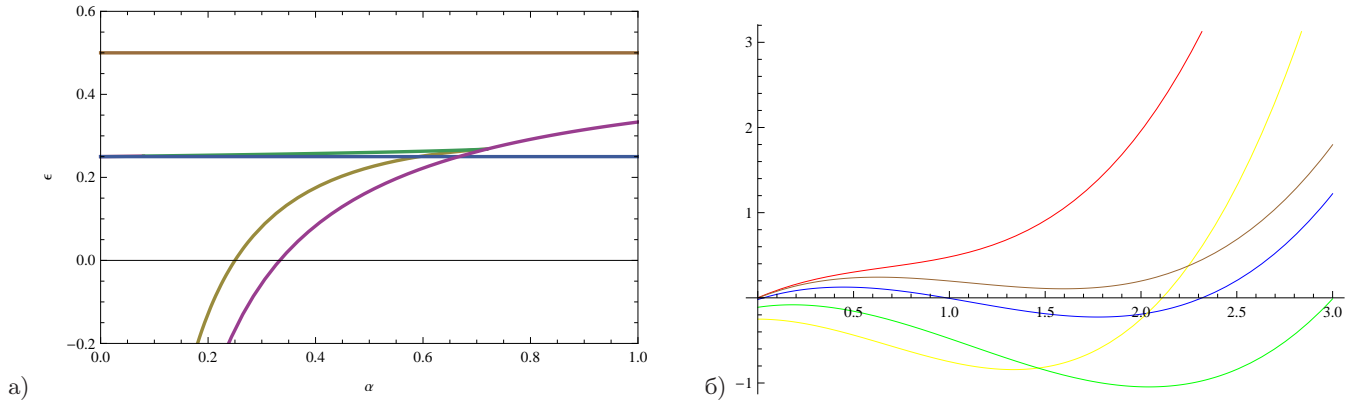


Рис. 1: а) Диаграмма областей различного поведения плотности состояний. б) Типичное поведение кубического многочлена  $\alpha x^3 + x - (\epsilon + x)^2$  в разных областях: А1 – красная кривая, А2 – зеленая кривая, А3 – синяя кривая, А4 – коричневая кривая, В – желтая кривая.

Пределы интегрирования по  $x$  определяются требованием положительности подкоренных выражений, поэтому мы рассмотрели диаграмму, выделяющую принципиально различные в этом отношении области (см. Рис. 1а). В каждой из областей поведение кубического многочлена  $\alpha x^3 + x - (\epsilon + x)^2$  различно (см. Рис. 1б).

Выше  $\epsilon = 1/2$  расположена область В, ниже кривой  $\epsilon = 1/2 - 1/6\alpha$  – область А1. В оставшейся области выше кривой  $\alpha_-(\epsilon) = \frac{2(\epsilon+z_-)-1}{3z_-^2}$ , параметризуемой с помощью  $z_{\pm} = 1 - 2\epsilon \pm \sqrt{(1-2\epsilon)^2 - 3\epsilon^2}$  – координат, в которых производная кубического многочлена обращается в нуль вместе с его значением, находится область А2. Между кривой  $\epsilon = 1/2 - 1/6\alpha$  и пересекающей ее ближайшей кривой  $\alpha_+(\epsilon) = \frac{2(\epsilon+z_+)-1}{3z_+^2}$  лежит область А4. Оставшийся линейно-связный кусок – область А3. Вблизи  $\alpha = 0.7$  имеется тройная точка – точка пересечения трех границ, определяемая условием  $z_+ = z_-$ . Координаты этой точки

$$\epsilon_c = \frac{1}{2 + \sqrt{3}} \approx 0.27, \quad \alpha_c = \frac{3 + 2\sqrt{3}}{9} \approx 0.71. \quad (7)$$

Обозначим через  $c_1, c_2, c_3$  корни кубического многочлена  $\alpha x^3 + x - (\epsilon + x)^2$  в порядке возрастания, если существуют все три действительных корня, и  $c_i$ , где  $i = 1$  или 3, если действительный корень только один. Корни квадратичного многочлена  $(\epsilon + x)^2 - x$  равны  $x_{1,2} = (1 - 2\epsilon \mp \sqrt{1 - 4\epsilon})/2$ . Обозначим также

$$\begin{aligned} F_1(\epsilon, \alpha) &= \int_{c_1}^{x_1} dx \mathcal{F}(x, \epsilon, \alpha), & F_2(\epsilon, \alpha) &= \int_{x_2}^{c_2} dx \mathcal{F}(x, \epsilon, \alpha), & F_3(\epsilon, \alpha) &= \int_{c_3}^{+\infty} dx \mathcal{F}(x, \epsilon, \alpha), \\ F_4(\epsilon, \alpha) &= \int_{c_1}^{c_2} dx \mathcal{F}(x, \epsilon, \alpha), & F_5(\epsilon, \alpha) &= \int_{x_2}^{+\infty} dx \mathcal{F}(x, \epsilon, \alpha), \end{aligned} \quad (8)$$

где

$$\mathcal{F}(x, \epsilon, \alpha) = \frac{1}{\pi} \frac{|\epsilon + x|}{\sqrt{(\epsilon + x)^2 - x} \sqrt{\alpha x^3 + x - (\epsilon + x)^2}}. \quad (9)$$

В области А3 при условии  $\epsilon < 1/4$

$$F(\epsilon, \alpha) = F_1(\epsilon, \alpha) + F_2(\epsilon, \alpha) + F_3(\epsilon, \alpha), \quad (10)$$

а при условии  $\epsilon > 1/4$

$$F(\epsilon, \alpha) = F_3(\epsilon, \alpha) + F_4(\epsilon, \alpha). \quad (11)$$

В области А4 при условии  $\epsilon < 1/4$

$$F(\epsilon, \alpha) = F_1(\epsilon, \alpha) + F_5(\epsilon, \alpha), \quad (12)$$

а при условии  $\epsilon > 1/4$

$$F(\epsilon, \alpha) = F_4(\epsilon, \alpha) + F_3(\epsilon, \alpha). \quad (13)$$

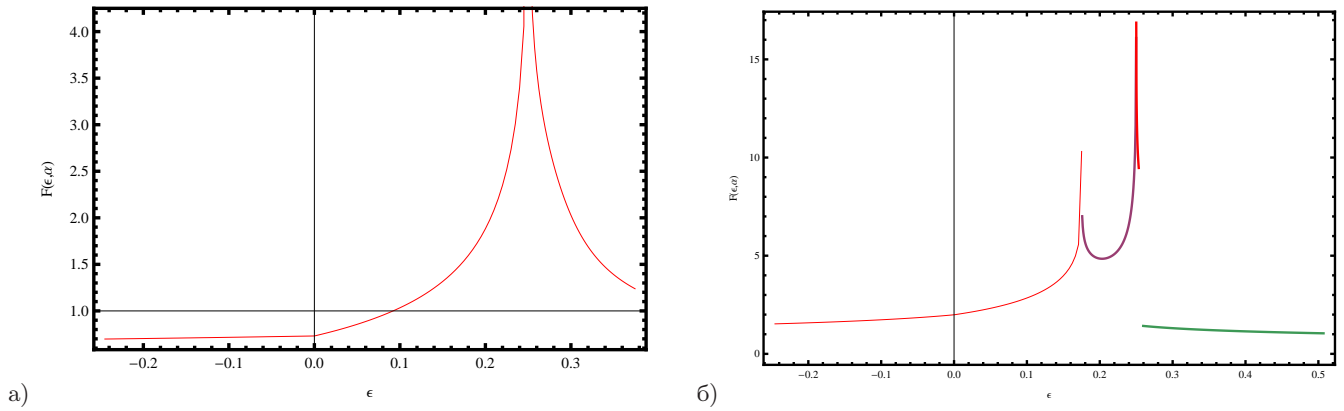


Рис. 2: Плотность состояний как функция энергии: а)  $\alpha = 2$ , б)  $\alpha = 0.4$

В области А2 всегда  $\epsilon > 1/4$ , и

$$F(\epsilon, \alpha) = F_3(\epsilon, \alpha). \quad (14)$$

В области А1 функция  $F$  даётся тем же выражением, что и в области А4, в области В все также как и в А2. В плотности состояний имеется особенность при любых  $\alpha$  и  $\epsilon = 1/4$ , связанная со слиянием корней квадратичного многочлена в знаменателе, главная асимптотика этой особенности имеет вид:

$$F(\epsilon, \alpha) \approx \frac{4}{\pi\sqrt{\alpha}} \ln \frac{1}{|\epsilon - 1/4|}, \quad \left| \epsilon - \frac{1}{4} \right| \ll 1. \quad (15)$$

По соображениям непрерывности (действительные корни квадратичного многочлена сначала сливаются прежде чем исчезнуть) и согласно проверке в одной точке области А3, если действительные корни есть, то они оба лежат между первым ( $c_1$ ) и вторым ( $c_2$ ) по возрастанию корнями кубического многочлена. Таким образом, вторая особенность в плотности состояний появляется на всей границе областей А3 и А4. Главная асимптотика этой особенности

$$F(\epsilon, \alpha) \approx \frac{|\epsilon + z_+|}{\pi[(\epsilon + z_+)^2 - z_+]^{1/2}[1 - 3\alpha_+(1 - 2\epsilon)]^{1/4}} \ln \frac{1}{|\alpha - \alpha_+(\epsilon)|}, \quad |\alpha - \alpha_+(\epsilon)| \ll 1. \quad (16)$$

При этом  $z_+$  совпадает со вторым по величине корнем кубического многочлена. На границе областей А2 и А3 происходит скачок плотности состояний, связанный с появлением бесконечно малой области интегрирования между точками  $c_1$  и  $c_2$  – первыми двумя корнями кубического многочлена. Его величина имеет вид

$$\Delta_{A2,A3} = \lim_{c_1 \rightarrow c_2} \int_{c_1}^{c_2} \frac{dx}{\pi\sqrt{\alpha}} \frac{|\epsilon + x|}{\sqrt{(\epsilon + x)^2 - x}\sqrt{c_3 - x}\sqrt{(x - c_1)(c_2 - x)}} = \frac{|\epsilon + z_-|}{[(\epsilon + z_-)^2 - z_-]^{1/2}[1 - 3\alpha_-(1 - 2\epsilon)]^{1/4}}. \quad (17)$$

в этом случае  $z_-$  совпадает с первым по величине корнем кубического многочлена. При изменении  $\alpha$  от 0 до малого положительного значения корневая особенность плотности состояний при  $\epsilon = 1/4$  расщепляется на логарифмическую и скачок, а вторая особенность появляется со стороны  $\epsilon = -\infty$ . Для примера, поведение плотности состояний (функции  $F(\epsilon, \alpha)$ ) для двух разных значений параметра  $\alpha$  показано на Рис. 2.

Особенности в плотности состояний (особенности ван-Хова) связаны со сложной и неоднозначной формой Ферми-поверхности для спектра (2). Ее удобно иллюстрировать графически. В зависимости от значений параметра  $\alpha$  имеется три принципиально различных случая эволюции Ферми-поверхности с ростом энергии при различных  $\alpha$ . В случае  $\alpha > \alpha_c \approx 0.71$  имеется одна особенность в плотности состояний. Она связана с касанием лепестков и центральной части при значении  $\epsilon = 1/4$  (см. Рис. 3). В случае  $\alpha_0 < \alpha < \alpha_c$ , где  $\alpha_0 = \alpha_+(1/4) = 16/27 \approx 0.59$ , есть две логарифмических особенности в плотности состояний. Первая при  $\epsilon = 1/4$  связана со слиянием центральной площади и лепестков (см. Рис. 4а) и б)), а вторая при  $\epsilon = \epsilon_+$  ( $\epsilon_+$  определяется решением уравнения  $\alpha = \alpha_+(\epsilon_+)$ ) связана со слиянием лепестков воедино (см. Рис. 4в) и г)). Скачок плотности состояний связан с исчезновением областей на рисунках Рис. 4 д) и е). При  $\alpha < \alpha_0$  также имеется две логарифмические особенности в плотности состояний. Первая при  $\epsilon = \epsilon_+$  связана со слиянием лепестков воедино (см. Рис. 5а) и б)). Вторая при  $\epsilon = 1/4$  связана со слиянием центральной площади и лепестков (см. Рис. 5в) и г)) Скачок плотности состояний связан с исчезновением областей на рисунках Рис. 5 д) и е).

### III. УРОВНИ ЛАНДАУ: ТЕОРИЯ ВОЗМУЩЕНИЙ

При наличии перпендикулярного магнитного поля  $H$  в гамильтониане (1) необходимо сделать подстановку Пайерлса:  $\mathbf{k} \rightarrow \mathbf{k} - e\mathbf{A}$ , где  $e$  - заряд электрона, а  $\mathbf{A}$  векторный потенциал, соответствующий полю  $\mathbf{H}$ . Также к гамильтониану (1) необходимо добавить член, описывающий зеемановское расщепление,  $g_L\mu_B H\sigma_z/2$ , где  $g_L$  и  $\mu_B$  обозначают  $g$ -фактор и магнетон Бора, соответственно. Таким образом, гамильтониан принимает вид:

$$H_0 = \frac{(k_x - eA_x)^2 + (k_y - eA_y)^2}{2m} + v((k_x - eA_x)\sigma_y - (k_y - eA_y)\sigma_x) + \frac{\lambda}{2}((k_+ - eA_+)^3 + (k_- - eA_-)^3)\sigma_z + \frac{1}{2}g_L\mu_B H\sigma_z, \quad (18)$$

где  $\nabla \times \mathbf{A} = \mathbf{H}$  и  $A_{\pm} = A_x \pm iA_y$ . Для случая  $\lambda = 0$  гамильтониан (1) описывает двумерные электроны с расщеплением типа Рашбы<sup>11</sup>. В этом случае уровни Ландау имеют вид<sup>11</sup>

$$E_n^{\sigma} = -n\omega_c + \sigma\sqrt{E_0^2 + \frac{2nv^2}{l_H^2}}, \quad n = 1, 2, \dots, \quad \sigma = \pm E_0 = -\frac{\omega_c}{2} - \frac{g_L\mu_B H}{2}. \quad (19)$$

где  $l_H = \frac{1}{\sqrt{|m|\omega_c}}$  - магнитная длина, и циклотронная частота  $\omega_c = \frac{eH}{m}$ . В калибровке Ландау  $\mathbf{A} = (-Hy, 0, 0)$  собственные векторы

$$\psi_+ = \begin{pmatrix} \psi \\ \phi \end{pmatrix} = \frac{e^{ik_x x}}{\sqrt{L_x A_n}} \begin{pmatrix} -iD_n |n-1\rangle \\ |n\rangle \end{pmatrix}, \quad (20)$$

$$\psi_- = \begin{pmatrix} \psi \\ \phi \end{pmatrix} = \frac{e^{ik_x x}}{\sqrt{L_x A_n}} \begin{pmatrix} |n-1\rangle \\ -iD_n |n\rangle \end{pmatrix}, \quad (21)$$

где

$$D_n = \frac{\sqrt{2nv}}{l_H(E_0 + \sqrt{E_0^2 + \frac{2nv^2}{l_H^2}})} \quad (22)$$

и  $A_n^2 = 1 + D_n^2$ . Для рассмотрения члена с гексагональным искажением в гамильтониане (1)

$$V = \frac{\lambda}{2}(k_+^3 + k_-^3)\sigma_z \quad (23)$$

как возмущения, необходимо вычислить его матричные элементы. Они имеют вид (по самосопряженности достаточно указать следующие четыре матричных элемента)

$$V_{n,n+3}^{++} = A(-a_n^+ a_{n+3}^+ \zeta_{n+2} - b_n^+ b_{n+3}^+ \zeta_{n+3}), \quad (24)$$

$$V_{n,n-3}^{--} = A(b_n^- b_{n+3}^- \zeta_n + a_n^- a_{n+3}^- \zeta_{n-1}), \quad (25)$$

$$V_{n,n+3}^{\pm} = A(a_n^+ a_{n+3}^- \zeta_{n+2} + a_{n+3}^+ a_n^- \zeta_{n+3}), \quad (26)$$

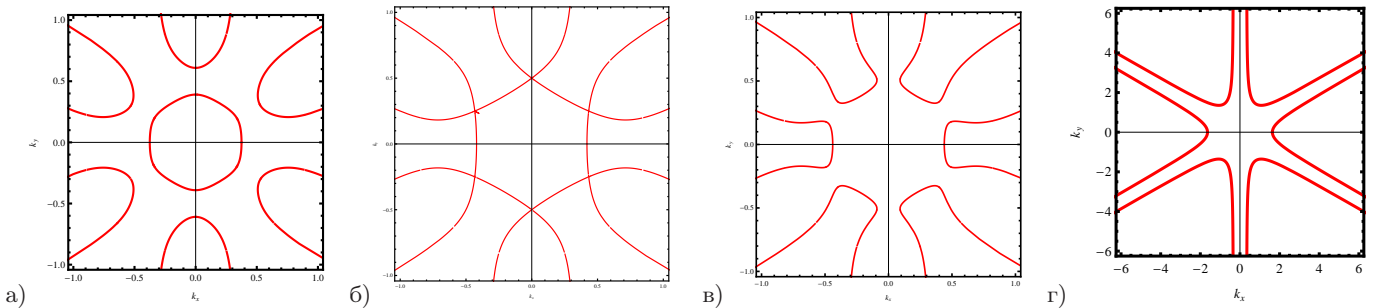


Рис. 3: Ферми-поверхность в случае  $\alpha = 1$  для а)  $\epsilon = 0.238$ , б)  $\epsilon = 1/4$ , в)  $\epsilon = 0.2545$  и г)  $\epsilon = 2$ .

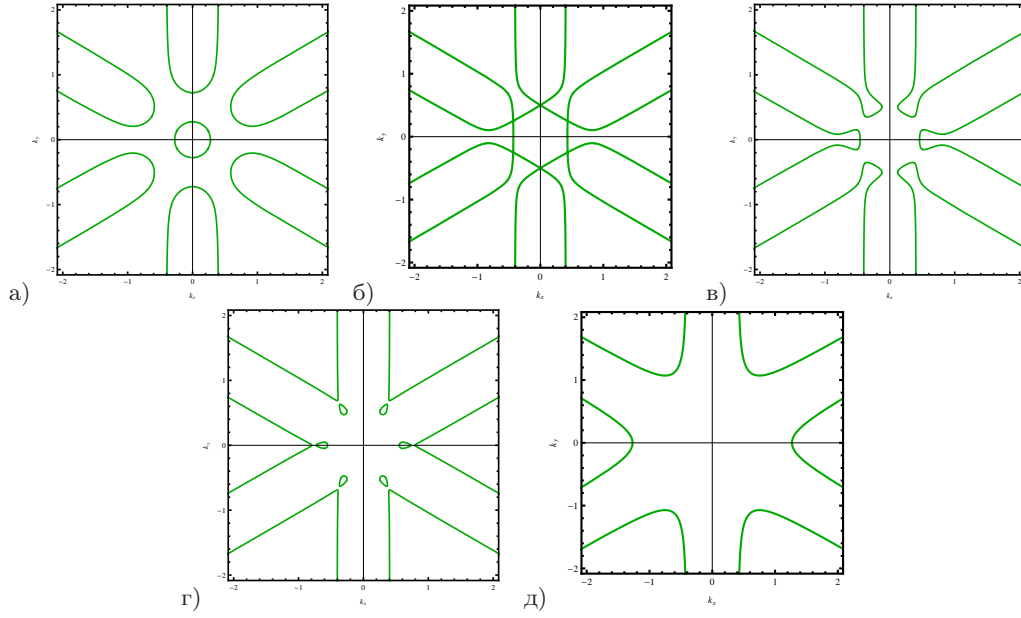


Рис. 4: Ферми-поверхность в случае  $\alpha = 0.68$ : а)  $\epsilon = 0.2$ , б)  $\epsilon = 1/4$ , в)  $\epsilon = 0.255$ , г)  $\epsilon = 0.2645$  и д)  $\epsilon = 0.265$

$$V_{n,n-3}^{\pm} = A(b_{n-3}^{-}b_n^{+}\zeta_n + b_n^{-}b_{n-3}^{+}\zeta_{n-1}), \quad (27)$$

где  $a_n^{+} = b_n^{-} = -i\frac{D_n}{\sqrt{A_n}}$ ,  $a_n^{-} = b_n^{+} = \frac{1}{\sqrt{A_n}}$ ,  $\zeta_n = \sqrt{n(n-1)(n-2)}$ ,  $A = \frac{\sqrt{2}\lambda}{t^3H}$ . Остальные получаются сопряжением.

Таким образом, поправка второго порядка за счет наличия гексагонального искажения имеет вид

$$E_n^{\sigma,(2)} = -\sum_{\sigma'} \left( \frac{|V_{n+3,n}^{\sigma',\sigma}|^2}{E_{n+3}^{\sigma'} - E_n^{\sigma}} + \frac{|V_{n-3,n}^{\sigma',\sigma}|^2}{E_{n-3}^{\sigma'} - E_n^{\sigma}} \right). \quad (28)$$

Поправка второго порядка растет с ростом  $n$ . То есть, мы заключаем, что теория возмущений не работает при

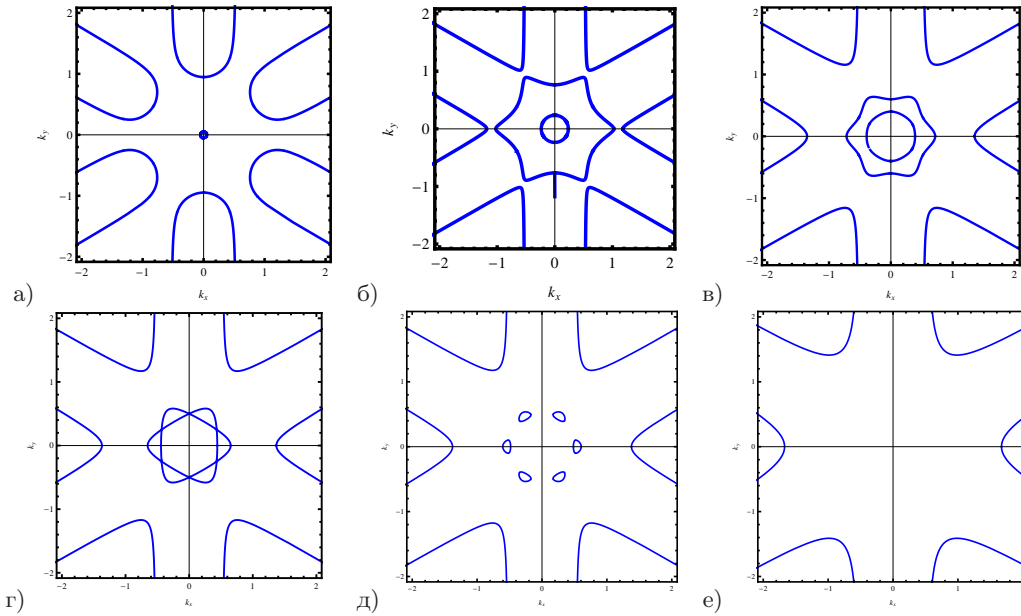


Рис. 5: Ферми-поверхность в случае  $\alpha = 0.4$ : а)  $\epsilon = 0.05$ , б)  $\epsilon = 0.18$ , в)  $\epsilon = 0.24$ , г)  $\epsilon = 1/4$ , д)  $\epsilon = 0.255$ , и е)  $\epsilon = 0.6$ .

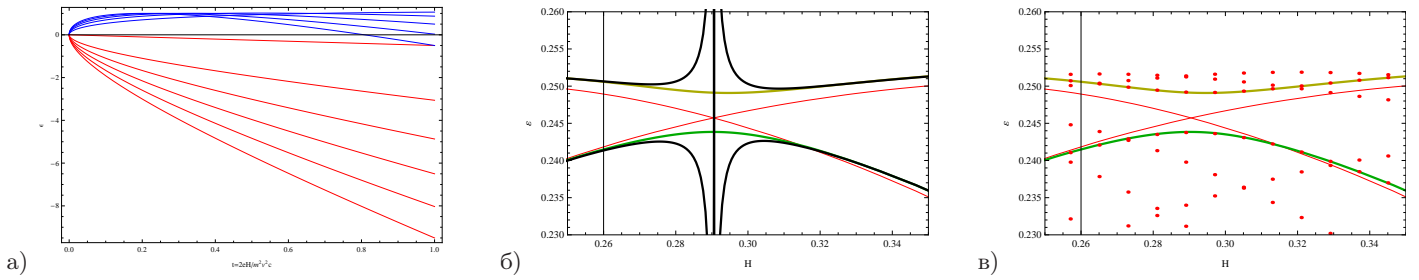


Рис. 6: а) Уровни Ландау без гексагонального искажения. б) Поведение уровней Ландау 4+ и 7+ в окрестности точки их пересечения, черным цветом - обычная теория возмущений, зеленый и бежевый - усовершенствованная теория возмущений. в) Те же уровни, сравнение с результатом численной диагонализации гамильтониана, обрезанного на  $n = 100$ . Параметр  $\alpha = 0.05$ .

больших значениях  $n$ . Обозначая  $\eta = \frac{Al_H}{v}$  и  $\mu = 2|m|l_H v$  имеем стандартные условия применимости

$$n \ll 1/\eta, \eta < 1, \mu > 1, \eta > 1/\mu^2, \quad (29)$$

$$n \ll 1/(\eta\mu)^2, \eta < 1, \mu > 1, \eta < 1/\mu^2, \quad (30)$$

$$n \ll 1/\mu^2, \mu < 1, \eta < \mu^2, \quad (31)$$

$$n \ll 1/(\eta\mu)^{3/2}, \mu < 1, \eta > \mu^2, \eta < 1/\mu. \quad (32)$$

При других соотношениях между параметрами  $\eta$  и  $\mu$  теория возмущений не применима. Помимо роста матричных элементов возмущения с ростом номера имеется другая проблема для теории возмущений – пересечение невозмущенных уровней как функций магнитного поля.

Для улучшения теории возмущений вблизи таких пересечений необходимо строить теорию возмущений, аналогично тому как это делается в случае вырожденных уровней. Нужно совершить унитарное преобразование исходного гамильтониана, чтобы диагонализировать матрицу размера  $2 \times 2$  пересекающихся уровней вблизи этой точки. Запишем гамильтониан (1) в базе невозмущенных состояний  $\psi_{\pm}$ :

$$H = \begin{pmatrix} A & B \\ B^\dagger & C \end{pmatrix}, \quad (33)$$

где блоки

$$A = \begin{pmatrix} E_n^+ & V_{n,n+3}^{++} \\ V_{n,n+3}^{++} & E_{n+3}^+ \end{pmatrix}, \quad (34)$$

$$B = \begin{pmatrix} V_{n,n+3}^{+-} & V_{n,n-3}^{++} & V_{n,n-3}^{+-} & 0 & 0 & 0 \\ 0 & 0 & 0 & V_{n+3,n}^{+-} & V_{n+3,n+6}^{++} & V_{n+3,n+6}^{+-} \end{pmatrix}, \quad (35)$$

и

$$C = \begin{pmatrix} E_{n+3}^- & 0 & 0 & V_{n+3,n}^{--} & V_{n+3,n+6}^{-+} & V_{n+3,n+6}^{--} \\ 0 & E_{n-3}^+ & 0 & V_{n-3,n}^{+-} & 0 & 0 \\ 0 & 0 & E_{n-3}^- & V_{n-3,n}^{--} & 0 & 0 \\ V_{n,n+3}^{--} & V_{n,n-3}^{-+} & V_{n,n-3}^{--} & E_n^- & 0 & 0 \\ V_{n+6,n+3}^{+-} & 0 & 0 & 0 & E_{n+6}^+ & 0 \\ V_{n+6,n+3}^{--} & 0 & 0 & 0 & 0 & E_{n+6}^- \end{pmatrix}. \quad (36)$$

Унитарное преобразование, затрагивающее только А и В и диагонализующее блок А, ищем в виде

$$U = \begin{pmatrix} u & 0 \\ 0 & 1 \end{pmatrix}. \quad (37)$$

Обозначим

$$\gamma_{\pm} = \frac{(-E_n^+ + E_{n+3}^+)}{2V_{n,n+3}^{++}} \pm \frac{\sqrt{(\frac{E_n^+ - E_{n+3}^+}{2})^2 + V_{n,n+3}^{+-2}}}{V_{n,n+3}^{++}}, \quad (38)$$

тогда искомое  $u$  имеет вид:

$$u = \begin{pmatrix} \frac{1}{\sqrt{1+\gamma_+^2}} & \frac{1}{\sqrt{1+\gamma_-^2}} \\ \frac{\gamma_+}{\sqrt{1+\gamma_+^2}} & \frac{\gamma_-}{\sqrt{1+\gamma_-^2}} \end{pmatrix}. \quad (39)$$

Действие преобразования на  $B$  дает новые матричные элементы связи между уровнями

$$u^\dagger B = \begin{pmatrix} \frac{V_{n,n+3}^{+-}}{\sqrt{1+\gamma_+^2}} & \frac{V_{n,n-3}^{++}}{\sqrt{1+\gamma_+^2}} & \frac{V_{n,n-3}^{+-}}{\sqrt{1+\gamma_+^2}} & \frac{\gamma_+ V_{n+3,n}^{+-}}{\sqrt{1+\gamma_+^2}} & \frac{\gamma_+ V_{n+3,n+6}^{++}}{\sqrt{1+\gamma_+^2}} & \frac{\gamma_+ V_{n+3,n+6}^{+-}}{\sqrt{1+\gamma_+^2}} \\ \frac{V_{n,n+3}^{+-}}{\sqrt{1+\gamma_-^2}} & \frac{V_{n,n-3}^{++}}{\sqrt{1+\gamma_-^2}} & \frac{V_{n,n-3}^{+-}}{\sqrt{1+\gamma_-^2}} & \frac{\gamma_- V_{n+3,n}^{+-}}{\sqrt{1+\gamma_-^2}} & \frac{\gamma_- V_{n+3,n+6}^{++}}{\sqrt{1+\gamma_-^2}} & \frac{\gamma_- V_{n+3,n+6}^{+-}}{\sqrt{1+\gamma_-^2}} \end{pmatrix}. \quad (40)$$

В итоге вблизи точки пересечения уровни имеют вид

$$E_- = \Lambda_- + \left( \frac{|V_{n,n+3}^{+-}|^2}{\Lambda_- - E_{n+3}^-} + \frac{|V_{n,n-3}^{++}|^2}{\Lambda_- - E_{n-3}^-} + \frac{|V_{n,n-3}^{+-}|^2}{\Lambda_- - E_{n-3}^-} \right) \frac{1}{1 + \gamma_-^2} + \left( \frac{|V_{n+3,n}^{+-}|^2}{\Lambda_- - E_n^-} + \frac{|V_{n+3,n+6}^{++}|^2}{\Lambda_- - E_{n+6}^-} + \frac{|V_{n+3,n+6}^{+-}|^2}{\Lambda_- - E_{n+6}^-} \right) \frac{\gamma_-^2}{1 + \gamma_-^2}, \quad (41)$$

$$E_+ = \Lambda_+ + \left( \frac{|V_{n,n+3}^{+-}|^2}{\Lambda_+ - E_{n+3}^+} + \frac{|V_{n,n-3}^{++}|^2}{\Lambda_+ - E_{n-3}^+} + \frac{|V_{n,n-3}^{+-}|^2}{\Lambda_+ - E_{n-3}^+} \right) \frac{1}{1 + \gamma_+^2} + \left( \frac{|V_{n+3,n}^{+-}|^2}{\Lambda_+ - E_n^+} + \frac{|V_{n+3,n+6}^{++}|^2}{\Lambda_+ - E_{n+6}^+} + \frac{|V_{n+3,n+6}^{+-}|^2}{\Lambda_+ - E_{n+6}^+} \right) \frac{\gamma_+^2}{1 + \gamma_+^2}, \quad (42)$$

где собственные числа матрицы  $A$

$$\Lambda_{\pm} = \frac{E_{n+3}^+ + E_n^+}{2} \pm \sqrt{\left(\frac{E_{n+3}^+ - E_n^+}{2}\right)^2 + |V_{n,n+3}^{++}|^2}. \quad (43)$$

Заметим, что величины  $\gamma_{\pm}$  можно записать как  $\gamma_{\pm} = \frac{(E_{n+3}^+ - E_n^+ \pm (\Lambda_+ - \Lambda_-))}{2V_{n,n+3}^{++}}$ .

На Рис. 6 б) видна неприменимость обычной теории возмущений, связанная с пересечением уровней невозмущенных уровней. Как видно, улучшенная теория возмущений, по сути являющаяся блочным суммированием наиболее существенных вкладов в теории возмущений, более адекватно описывает явление расstalkивания уровней. На Рис. 6 в) в окрестности точки пересечения невозмущенных уровней видно хорошее совпадение результата, полученного улучшенной теорией возмущений, с численной диагонализацией гамильтониана.

#### IV. УРОВНИ ЛАНДАУ: КВАЗИКЛАССИКА

Чтобы исследовать систему на больших энергиях, мы применяли квазиклассический подход. Основная идея в этой части работы - применить правила квантования Бора-Зоммерфельда, а именно

$$S = 2\pi l_H^{-2} (n + \gamma) \quad (44)$$

где  $S$  – площадь, ограниченная изоэнергетической кривой в  $k$ -пространстве, а  $n$  – целое число. В пренебрежение коммутатором  $[k_x, k_y]$  квадрат гамильтониана приводит к тому же условию на изоэнергетическую поверхность, как и без поля, только теперь роль одного из импульсов играет координата в реальном пространстве. Площадь может быть выражена через плотность состояний в отсутствие поля. Фаза Берри  $\gamma \sim 1$  зависит от вида гамильтониана и в случае двухзонных гамильтонианов вычислялась в работе<sup>12</sup>. В дальнейшем мы будем пренебрегать  $\gamma$ . Также мы будем пренебрегать зеемановским расщеплением, имея в виду малость  $g$ -фактора в топологических изоляторах.

При  $0 < \epsilon < \min\{\epsilon_+(\alpha), 1/4\}$  в площадь имеется два вклада - от центральной части и бесконечных (в квазиклассическом приближении) “лепестков” (см. Рис. 3а), Рис. 4а), Рис. 5а)). Площадь центральной части равна

$$S_1 = \frac{\Delta^2}{2v^2} \left[ 2\pi c_1 + 12 \int_{c_1}^{x_1} dx \left( \frac{1}{3} \arccos \frac{-\sqrt{(x+\epsilon)^2 - x}}{\sqrt{\alpha x^3}} - \frac{\pi}{6} \right) \right]. \quad (45)$$

Можно показать, что

$$\frac{\partial S_1}{\partial \epsilon} = 4\pi^2 \Delta g_1(\epsilon), \quad (46)$$

где  $g_1(\epsilon)$  - вклад в плотность состояний от центральной части, а именно

$$g_1(\epsilon) = \frac{\Delta}{2\pi v^2} F_1(\epsilon, \alpha). \quad (47)$$

Площадь каждого раздельного лепестков равна

$$S_2 = \frac{\Delta^2}{v^2} \int_{x_2}^{+\infty} dx \left( \frac{1}{3} \arccos \frac{-\sqrt{(x+\epsilon)^2 - x}}{\sqrt{\alpha x^3}} - \frac{\pi}{6} \right) \quad (48)$$

Опять можно показать, что

$$\frac{\partial S_2}{\partial \epsilon} = \frac{2\pi^2 \Delta}{3} g_2(\epsilon), \quad (49)$$

где

$$g_2(\epsilon) = \frac{\Delta}{2\pi v^2} F_5(\epsilon, \alpha). \quad (50)$$

Заметим, что интеграл в ур. (48) расходится на верхнем пределе. Поэтому удобно записать его в виде:

$$S_2 = \frac{1}{6} S + \frac{\pi \Delta^2}{3v^2} \int_0^\epsilon F_5(\epsilon', \alpha) d\epsilon'. \quad (51)$$

Здесь  $S$  суммарная площадь лепестков при  $\epsilon = 0$ .

В случае  $\max\{0, \epsilon_+(\alpha)\} < \epsilon < 1/4$ , имеется два линейно-связных куска (Рис. 5в)) – центральная часть и слившиеся лепестки, площадь центральной части определяется как выше (см. ур. (46)), площадь второй части будет

$$S_{2,3} = \frac{6\Delta^2}{v^2} \left[ \int_{x_2}^{c_2} dx \left( \frac{1}{3} \arccos \frac{-\sqrt{(x+\epsilon)^2 - x}}{\sqrt{\alpha x^3}} - \frac{\pi}{6} \right) + \int_{c_3}^{+\infty} dx \left( \frac{1}{3} \arccos \frac{-\sqrt{(x+\epsilon)^2 - x}}{\sqrt{\alpha x^3}} - \frac{\pi}{6} \right) \right] + \frac{\Delta^2}{2v^2} (2\pi c_3 - 2\pi c_2). \quad (52)$$

Опять,

$$\frac{\partial S_{2,3}}{\partial \epsilon} = 4\pi^2 \Delta g_{2,3}(\epsilon), \quad (53)$$

где

$$g_{2,3}(\epsilon) = \frac{\Delta}{2\pi v^2} (F_2(\epsilon, \alpha) + F_3(\epsilon, \alpha)). \quad (54)$$

Также, удобно записать  $S_{2,3}$  в виде:

$$S_{2,3} = S + \frac{2\pi \Delta^2}{v^2} \int_0^\epsilon [F_2(\epsilon', \alpha) + F_3(\epsilon', \alpha)] d\epsilon'. \quad (55)$$

Для  $\epsilon_-(\alpha) < \epsilon$  (при  $\alpha < \alpha_0$ ),  $1/4 < \epsilon < \epsilon_+(\alpha)$  и  $\epsilon_-(\alpha) < \epsilon$  (при  $\alpha_0 < \alpha < \alpha_c$ ) и  $1/4 < \epsilon$  (при  $\alpha_c < \alpha$ ) (см. Рис. 3 в и г, Рис. 4в), д) и Рис. 5е)) имеем случай одной линейно-связной площади (см. Рис. 4г) и д)) с площадью

$$S_3 = \frac{\Delta^2}{2v^2} (2\pi c_1) + \frac{6\Delta^2}{v^2} \int_{c_1}^{+\infty} dx \left( \frac{1}{3} \arccos \frac{-\sqrt{(x+\epsilon)^2 - x}}{\sqrt{\alpha x^3}} - \frac{\pi}{6} \right). \quad (56)$$

При  $\max\{1/4, \epsilon_+(\alpha)\} < \epsilon < \epsilon_-(\alpha)$  (см. Рис. 4г) и Рис. 5д)) общая площадь области определяется как

$$S_3 = \frac{6\Delta^2}{v^2} \left[ \int_{c_1}^{c_2} dx \left( \frac{1}{3} \arccos \frac{-\sqrt{(x+\epsilon)^2 - x}}{\sqrt{\alpha x^3}} - \frac{\pi}{6} \right) + \int_{c_3}^{+\infty} dx \left( \frac{1}{3} \arccos \frac{-\sqrt{(x+\epsilon)^2 - x}}{\sqrt{\alpha x^3}} - \frac{\pi}{6} \right) \right] + \frac{\Delta^2}{2v^2} 2\pi (c_1 + c_3 - c_2). \quad (57)$$

В итоге во всех случаях

$$\frac{\partial S_3}{\partial \epsilon} = 4\pi^2 \Delta g(\epsilon), \quad S_3 = S + 4\pi^2 \Delta \int_0^\epsilon d\epsilon' g(\epsilon'), \quad (58)$$

где  $g(\epsilon)$  – полная плотность состояний.

В случае  $\epsilon < 0$  площадь определяется соотношением

$$\frac{\partial S}{\partial \epsilon} = 4\pi^2 \Delta (g_2(\epsilon) - g_1(\epsilon)). \quad (59)$$

где  $g_2(\epsilon)$  и  $g_1(\epsilon)$  – вклады в плотность состояний от лепестков и центральной части соответственно. Обратим внимание, что в  $S_2$ ,  $S_{2,3}$  и  $S_3$  присутствует формально бесконечный вклад, обозначенный  $S$ , который является площадью лепестков при  $\epsilon = 0$ . Обнаруженная ранее особенность плотности состояний при  $\epsilon = 1/4$  графически выражается в слиянии центральной областей и “лепестков” при этой энергии.

В рамках квазиклассического приближения, без учета явления магнитного пробоя<sup>13</sup>, в случаях существования отдельных лепестков возникают шестикратно вырожденные уровни. Вблизи точек особенностей плотности состояний в нулевом поле, можно найти поведение квазиклассических уровней энергии. Интегрирование асимптотики плотности состояний (15) вблизи энергии  $\epsilon = 1/4$  дает уравнение на спектр

$$\frac{8\Delta^2}{\sqrt{\alpha}v^2} |\epsilon - 1/4| \ln \frac{1}{|\epsilon - 1/4|} \approx 2\pi l_H^{-2} (n + n_0). \quad (60)$$

Вблизи второй особенности  $\epsilon = \epsilon_+(\alpha)$ :

$$\frac{\pi |\epsilon_+(\alpha) + c_1| |\epsilon - \epsilon_+(\alpha)| \Delta^2}{v^2 [(\epsilon_+(\alpha) + c_1)^2 - c_1^2]^{1/2} [1 - 3\alpha(1 - 2\epsilon_+(\alpha))]^{1/4}} \ln \frac{1}{|\epsilon - \epsilon_+(\alpha)|} \approx 2\pi l_H^{-2} (n + n'_0). \quad (61)$$

Здесь  $n_0$  и  $n'_0$  – неизвестные, определяемые площадью лепестков при  $\epsilon = 0$  и регулярной частью  $g(\epsilon)$  вблизи особенности. Тогда находим

$$|\epsilon - \epsilon_\kappa| \approx \frac{\kappa(n + n_\kappa)}{\ln[1/[\kappa(n + n_\kappa)]]}, \quad (62)$$

где в случае первой особенности

$$\epsilon_\kappa = \frac{1}{4}, \quad \kappa = \frac{\pi\sqrt{\alpha}v^2}{4l_H^2\Delta^2}, \quad n_\kappa = n_0 \quad (63)$$

и в случае второй

$$\epsilon_\kappa = \epsilon_+(\alpha), \quad \kappa = \frac{2v^2 [(\epsilon_+(\alpha) + c_1)^2 - c_1^2]^{1/2} [1 - 3\alpha(1 - 2\epsilon)]^{1/4}}{\Delta^2 l_H^2 |\epsilon_+(\alpha) + c_1|}, \quad n_\kappa = n'_0. \quad (64)$$

Общее же выражение для спектра не интегрируется аналитически, поэтому мы рассмотрели спектр численно. На Рис. 7 показаны площади центральной части и лепестков для  $\epsilon < 1/4$  и суммарная площадь после слияния. Три ветви отличаются множителями 1, 1/2, 1/3, что соответствует трем сериям уровней  $k$ ,  $2k$ ,  $3k$  при некотором  $k \gg 1$ , определяемом масштабом выбора оси  $y$ . Незвестная формально бесконечная площадь лепестков при  $\epsilon = 0$  даёт относительный сдвиг уровней по вертикальной оси.

В предельном случае  $|m| \rightarrow \infty$  можно проанализировать спектр в случае большого значения безразмерной энергии  $E/E_0 \gg 1$ . В этом случае есть только поверхность Ферми односвязанная и включающая точку  $\mathbf{k} = 0$ . В этом случае площадь

$$S(E) = \frac{\pi E_0^2}{v^2} f(E/E_0), \quad (65)$$

где

$$f(z) = z^2 y_z \left( 1 + \frac{2}{\pi} \int_1^{1/y_z} du \arcsin \frac{\sqrt{1 - y_z u}}{z^2 y_z^{3/2} u^{3/2}} \right), \quad (66)$$

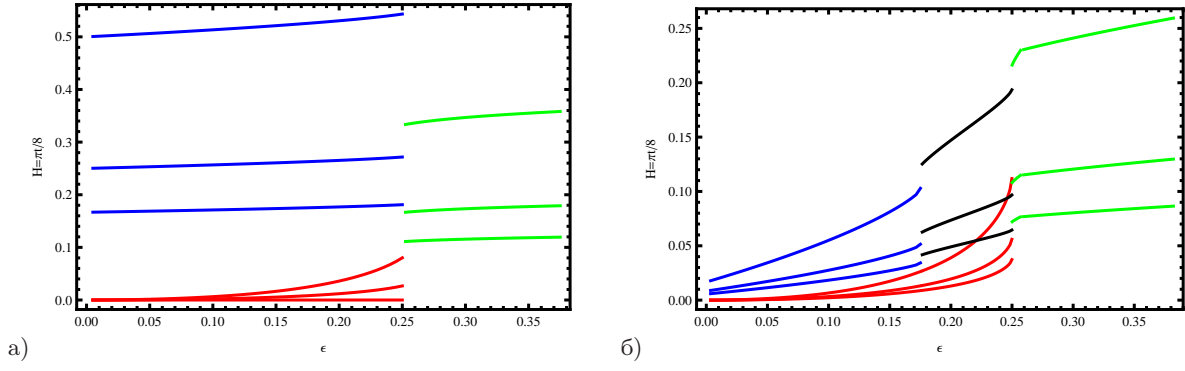


Рис. 7: Спектр в квазиклассике,  $\epsilon > 0$ , (a)  $\alpha = 2$ , (b)  $\alpha = 0.4$ . Красный - ветви центральной части, синий - лепестки, зеленый - вся площадь после слияния, черный - слившиеся лепестки. Функции для лепестков сдвинуты вверх на 0.5 и 0.1 соответственно, отвечающую площади их при  $\epsilon = 0$ . Большие площади слившихся лепестков (б) и слившихся центральной части и лепестков (а и б) поделены на 10 (а) и 5 (б), что соответствует увеличению номера уровня в 10 и 5 раз соответственно

где  $y_z$  - решение уравнения  $y + z^4 y^3 = 1$ . Для  $z \gg 1$  находим, что  $y_z \approx z^{-4/3} - z^{-8/3}/3$ . Тогда в случае  $z \gg 1$  получаем,

$$f(z) \simeq z^{2/3} \left( 1 + \frac{2}{\pi} h(z^{4/3}) \right), \quad (67)$$

где

$$h(t) = \int_1^t du \arcsin \frac{\sqrt{1-u/t}}{u^{3/2}}. \quad (68)$$

Два главных порядка асимптотического разложения интеграла дают

$$f(z) \simeq \frac{6}{\sqrt{\pi}} \frac{\Gamma(7/6)}{\Gamma(2/3)} z^{2/3} - 2. \quad (69)$$

То есть для спектра при  $n \gg E_0^2 l_H^2 / v^2$  получаем

$$|E_n| \simeq E_0 \left( \frac{\sqrt{\pi} \Gamma(2/3)}{3 \Gamma(7/6)} \right)^{3/2} \left( \frac{v^2 n}{E_0^2 l_H^2} \right)^{3/2} \left[ 1 + \frac{3}{2} \frac{E_0^2 l_H^2}{v^2 n} \right]. \quad (70)$$

## V. ЧИСЛЕННАЯ ДИАГОНАЛИЗАЦИЯ ГАМИЛЬТониАНА

Остается вопрос, как изначальные уровни, все идущие к  $-\infty$ , посредством возмущения дают квазиклассическую картину, в которой, согласно вышеизложенному, есть две симметричных ветви, идущих к  $\pm\infty$ . Чтобы понять это, мы численно диагонализировали гамильтониан (18), обрезанный номером уровня  $n = 100$ . Из графиков на Рис. 8 мы видим, что, во-первых, возмущение снимает вырождение в невозмущенных уровнях, а во-вторых, что действительно старые уровни начинают уходить в положительные энергии, как получается в квазиклассике. Уровни, уходящие изначальнo вниз, дают отрицательную ветвь спектра квазиклассики. Обратим внимание, что уровни Ландау с энергиями  $\epsilon > 1/4$  группируются по шесть.

## VI. ОБСУЖДЕНИЕ ПОЛУЧЕННЫХ РЕЗУЛЬТАТОВ

В наиболее свежей работе для топологического изолятора с наиболее сильным на данный день гексагональным искажением ( $\text{Bi}_2\text{Te}_3$ ) были экспериментально определены следующие численные значения для параметров гамильтониана (1):  $m = -0.3 m_e$ ,  $v = 3.8 \text{ eV} \cdot \text{\AA}$ ,  $\lambda = 210 \text{ eV} \cdot \text{\AA}^3$ , что дает следующие оценки для введенных нами масштабов  $\Delta = 1.1 \text{ eV}$ ,  $E_0 = 0.51 \text{ eV}$ , и  $\alpha = 21.6$ . То есть, по-видимому, мы с запасом имеем дело со случаем одной логарифмической особенности плотности состояний. Плотность состояний в зависимости от химического

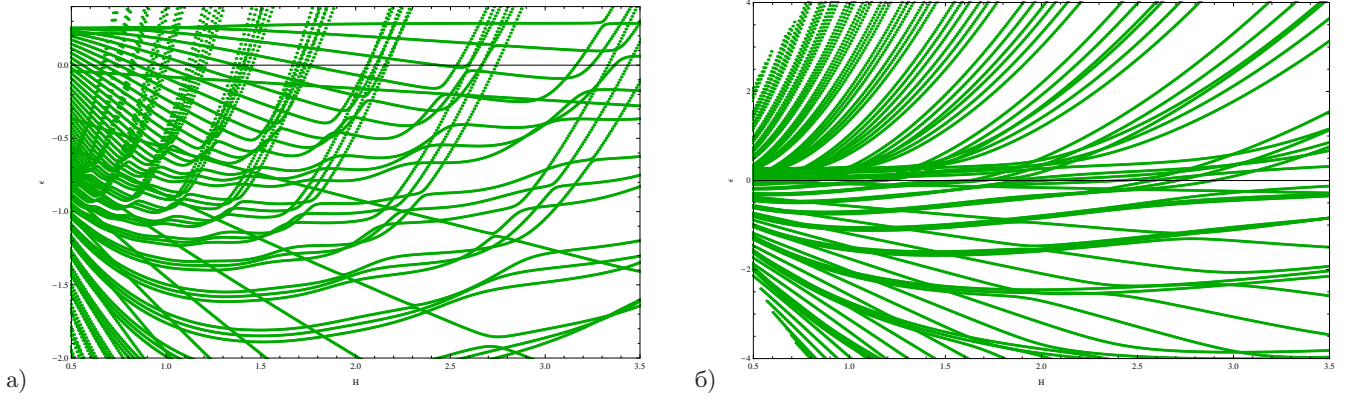


Рис. 8: Найденный численно спектр уровней Ландау для а)  $\alpha = 0.4$ , б)  $\alpha = 2$ .

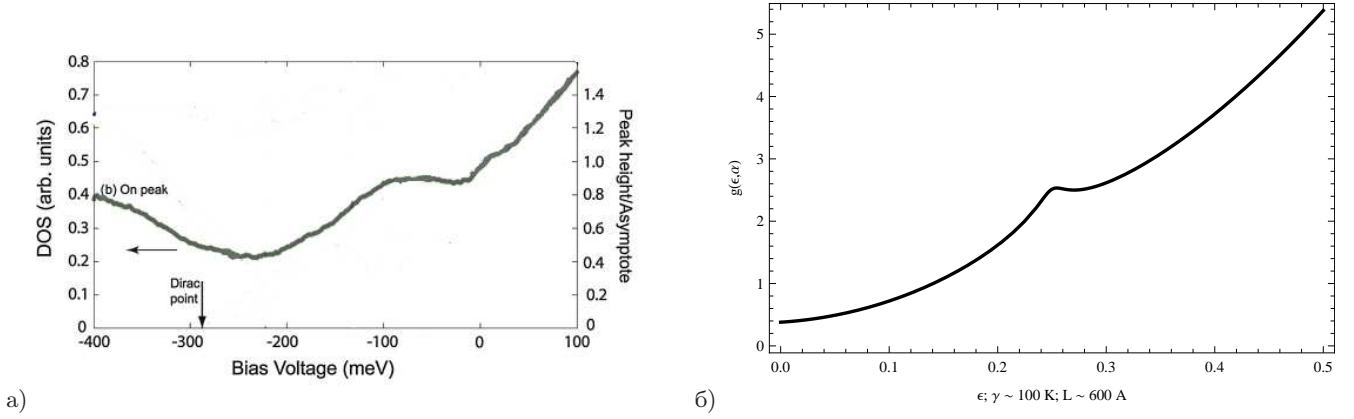


Рис. 9: а) Экспериментально измеренная плотность состояний и б) полученная в нашей модели

потенциала (приложенного напряжения) измерялась в работе<sup>6</sup>. Зависимость из этой работы (Рис. 9а) имеет помимо монотонного хода заметное плато. Такая же ступенька наблюдалась в экспериментах группы Родичева<sup>14</sup>. Такое поведение плотности состояний может быть как раз связано с вышеупомянутой логарифмической особенностью. Действительно, в силу формулы (см. например,<sup>15</sup>)

$$I(V) = 4\pi e|t|^2 \int dE \nu(E) \nu_{STM}(E + eV) [f_F(E) - f_F(E + eV)], \quad (71)$$

где  $f_F(E) = 1/[1 + \exp((E - \mu)/T)]$  – фермиевская функция распределения ( $t$  – амплитуда туннельного перехода,  $T$  – температура,  $\mu$  – химический потенциал,  $V$  – напряжение в игле), дифференциальный кондактанс  $dI/dV$  пропорционален при низких температурах,  $T \ll eV$ , плотности состояний образца  $\nu(E)$ . Если принять, что основной ход кривой зависимости туннельной плотности состояний в эксперименте обусловлен вкладом объемных состояний с линейным спектром  $E = v_{\text{bulk}}k$  (в силу сильного спин-орбитального взаимодействия в объеме; представляется правдоподобным, что  $v_{\text{bulk}} \sim v$ ), а основной вклад поверхностных состояний связан с логарифмической особенностью, то плотность состояний можно записать как

$$\nu(E) = a\epsilon^2 + c \ln \frac{1}{\sqrt{(\epsilon - 1/4)^2 + d^2}}. \quad (72)$$

Здесь первый член связан с объемным спектром, постоянная  $a = \frac{\Delta^2 L_z}{2\pi^2 v_{\text{bulk}}^3}$ , где  $L_z$  – эффективная толщина образца (вклад в туннельный ток объема), коэффициент  $c = \frac{2\Delta}{\pi^2 v^2 \sqrt{\alpha}}$  определяется формулой (15), а коэффициент  $d$  может быть, например, связан с размытием из-за беспорядка,  $d \sim \Gamma/\Delta$ : пространственные флуктуации дираковской точки в спектре с характерным масштабом  $\Gamma$  усредняются по пятну, определяемому эффективным размером иглы (порядка 1 нм в эксперименте группы Родичева). Заметим, что в условиях экспериментов как группы Капитульника<sup>6</sup> так и группы Родичева<sup>14</sup> температурное размытие в дифференциальном кондактансе

недостаточно для объяснения получаемой картины. Как видно из Рис. 9а размытие максимума около ступеньки составляет несколько десятков  $\text{meV}$ , а температура в эксперименте<sup>6</sup> была только около 10 К. Из Рис. 9б видно, что модельная плотность состояний (72) дает похожую на эксперимент зависимость.

Также, в экспериментах группы Родичева<sup>14</sup> наблюдалась картина уровней Ландау схожая с полученной на Рис. 8б, что может свидетельствовать о подходящем выборе модельного гамильтониана.

## VII. ЗАКЛЮЧЕНИЕ

В итоге, в работе был произведен по возможности полный анализ плотности состояний в нулевом магнитном поле и уровней Ландау в случае перпендикулярного магнитного поля для модельного гамильтониана (1), выведенного в работе<sup>10</sup>. Было получено, что при любом отличном от нуля параметре гексагонального искажения в плотности состояний имеется логарифмическая особенность, в некотором интервале параметров появляется и вторая, а также в плотности состояний имеется скачок в том же интервале параметров. Структура уровней Ландау с учетом гексагонального искажения и конечной массы была проанализирована в рамках теории возмущений и в квазиклассическом приближении. Полученные результаты были подтверждены с помощью численной диагонализации гамильтониана.

- 
- <sup>1</sup> M. Z. Hasan, C. L. Kane, *Rev. Mod. Phys.* **82**, 3045 (2010).  
<sup>2</sup> Xiao-Liang Qi, Shou-Cheng Zhang, *Rev. Mod. Phys.* **83**, 1057 (2011).  
<sup>3</sup> M. Nomura, S. Souma, A. Takayama, T. Sato, T. Takahashi, K. Eto, Kouji Segawa, Yoichi Ando, *Phys. Rev. B* **89**, 045134 (2014).  
<sup>4</sup> A. A. Schafgans, K. W. Post, A. A. Taskin, Yoichi Ando, Xiao-Liang Qi, B. C. Chapler, D. N. Basov, *Phys. Rev. B* **85**, 195440 (2011).  
<sup>5</sup> Yeping Jiang, Yilin Wang, Mu Chen, Zhi Li, Canli Song, Ke He, Lili Wang, Xi Chen, Xucun Ma, Qi-Kun Xue, *Phys. Rev. Lett.* **108**, 016401 (2010).  
<sup>6</sup> Zhanybek Alpichshev, J. G. Analytis, J.-H. Chu, I. R. Fisher, A. Kapitulnik, *Phys. Rev. B* **84**, 041104 (2011).  
<sup>7</sup> P. Sessi, M. M. Otrokov, T. Bathon, M. G. Vergniory, S. S. Tsirkin, K. A. Kokh, O. E. Tereshchenko, E. V. Chulkov, M. Bode, *Phys. Rev. B* **88**, 161407 (2013).  
<sup>8</sup> Chao-Xing Liu, Xiao-Liang Qi, HaiJun Zhang, Xi Dai, Zhong Fang, Shou-Cheng Zhang, *Phys. Rev. B* **82**, 045122 (2010).  
<sup>9</sup> Zhihua Yang, Jung Hoon Han, *Phys. Rev. B* **83**, 045415 (2011).  
<sup>10</sup> Liang Fu, *Phys. Rev. Lett.* **103**, 266801 (2009).  
<sup>11</sup> Yu. A. Bychkov and E. I. Rashba, *JETP Lett.* **39**, 78 (1984); *J. Phys. C: Sol. State Phys.* **17**, 6039 (1984).  
<sup>12</sup> Л.А. Фальковский, *ЖЭТФ* **49**, 609 (1965).  
<sup>13</sup> И.М. Лифшиц, М.Я. Азбель, М.И. Каганов, “Электронная теория металлов”, М.: Наука (1971).  
<sup>14</sup> В. Столяров, личное сообщение.  
<sup>15</sup> Л.С. Левитов, А.В. Шитов, “Функции Грина. Задачи и решения”, М.: Физматлит (2003).